

NGHIÊN C U TÁCH THU H I Ni^{2+} B NG DUNG D CH DI-(2-ETHYLHEXYL) PHOSPHORIC AXIT (HDEHP) TRONG N-HEPTAN

Tr n Mai Ph ng, Nguy n Huy C nh, Ngô M nh Th ng

Tr ng i h c Bách Khoa, HQG-HCM

(Bài nh n ngày 18 tháng 04 n m 2008, hoàn ch nh s a ch a ngày 18 tháng 09 n m 2008)

TÓM T: Bài báo trình bày k t qu nghiên c u trích ly tách thu h i Ni^{2+} trong m t s h hai và ba pha l ng, s d ng dung d ch HDEHP/n-heptan. nh h ng c a th i gian trích ly, giá tr ban u c a pH và n ng Ni^{2+} trong pha n c, c ng nh c a HDEHP trong pha h u c ã c ánh giá, th o lu n. Trích ly trong các h hai pha phân tán di n ra r t nhanh, cân b ng c thi t l p sau không quá 10 phút. D ng ph c Ni(II) t o thành ch y u là $Ni(DEHP)_2$. Hi u su t trích ly Ni^{2+} gi m khi n ng $[Ni^{2+}]_0$ t ng, khi pH₀ và/ho c n ng $[(HDEHP)_2]_0$ gi m. pH th p, HCl c ng b trích ly vào pha h u c . K t qu trích ly Ni^{2+} qua màng l ng th tích c mô t b i ph ng trình ng h c ph n ng b c m t bi u ki n. H ng s t c thu c cho vùng n ng $[Ni^{2+}]_0 \sim 10^{-3} \div 10^{-2}$ mol/L có giá tr $\sim 2,30.10^{-2} \div 2,68.10^{-2}$ phút⁻¹.

1. GI I THI U

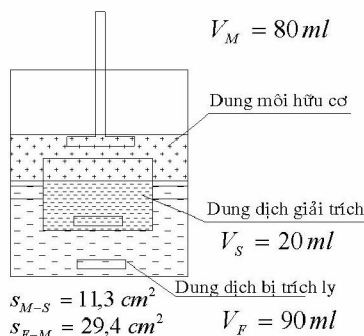
Trích ly là m t trong các ph ng pháp c quan tâm nghiên c u tách, thu h i ion kim lo i n ng t các dung d ch có ngu n g c, tính ch t khác nhau [1-9]. Hi u qu kinh t c a ph ng pháp trích ly c nâng cao khi k t h p hai giai o n trích ly và gi i trích ly trong m t h ba pha l ng. Trong các h này, pha h u c óng vai trò màng l ng trung gian cho quá trình chuy n ch t, nên có th ng d ng các ho t ch t trích ly t t i n nh ng có ch n l c cao theo yêu c u. Có ba d ng pha màng l ng c nghiên c u: 1/ d ng nh t ng – emulsion liquid membranes [10-12]; 2/ d ng c nh trên n n ch t mang r n – supported liquid membranes [13-16]; 3/ d ng th tích (h u h n) – bulk liquid membranes [17, 18]. Trong ó, d ng màng l ng th tích ít c chú ý do kh n ng ng d ng qui mô công nghi p còn h n ch . Tuy nhiên, qui mô v a và nh , d ng màng l ng th tích có nh ng u th riêng nh ut thi t b không cao, không c n t o / phá nh t ng, không c n c nh màng l ng lên n n ch t mang r n thích h p, và c bi t quan tr ng là không có h n ch v b n màng.

Báo cáo này trình bày m t s k t qu nghiên c u thu h i Ni^{2+} b ng ph ng pháp trích ly và trích ly qua màng l ng th tích là dung d ch HDEHP trong n-heptan.

2. TH C NGHI M

HDEHP (tinh khi t > 98%, Merck), n-heptan (tinh khi t p.a., Baker), mu i $NiCl_2 \cdot 6H_2O$ và các hoá ch t khác (tinh khi t p.a., Trung Qu c) c s d ng không qua giai o n làm tinh s ch thêm. Dùng n c c t pha ch các dung d ch vô c , pH các dung d ch này o b ng pH k METTLER TOLEDO, s d ng i n c c thu tinh. Các thí nghi m u t i n hành nhi t phòng.

Trích ly trong các h hai pha c t i n hành trong các bình Erlen c mài, v i t l th tích $V_{huc} : V_{nc} = 30 \text{ ml} : 30 \text{ ml}$, khu y tr n b ng cá t , s d ng máy khu y HEIDOLPH MR 3001K, t c ~ 100 vòng/phút. Tách pha t i n hành trong ph u chỉ t, th i gian ~ 20 phút. Sau khi tách pha, o pH và phân tích n ng Ni^{2+} trong pha n c.



Hình 1. Bình trích ly dạng beaker-in-beaker

Nồng độ Ni(II) trong pha hữu cơ tính theo điều kiện cân bằng vật chất. Do đó trích hai pha nước và hữu cơ là như nhau, hiệu suất trích ly Ni²⁺ tính theo phương trình (1), hệ số phân bố vật chất của Ni²⁺ tính theo phương trình (2)

$$R_{Ni^{2+}} (\%) = \frac{[Ni(II)]_{equil.}}{[Ni^{2+}]_0} \cdot 100 = \frac{[Ni^{2+}]_0 - [Ni^{2+}]_{equil.}}{[Ni^{2+}]_0} \cdot 100 \quad (1)$$

$$D_{Ni^{2+}, obs.} = \left(\frac{[Ni(II)]}{[Ni^{2+}]_{equil.}} \right) = \frac{[Ni^{2+}]_0 - [Ni^{2+}]_{equil.}}{[Ni^{2+}]_{equil.}} \quad (2)$$

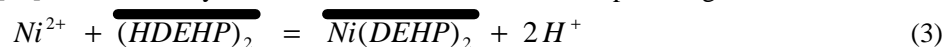
và chúng ta sẽ trình bày các nồng độ trong pha hữu cơ

Trích ly trong các hệ ba pha được tiến hành trong bình trích ly tự động theo tài liệu tham khảo [18] – Hình 1. Pha màng lỏng hữu cơ được khuấy với máy khuấy a, cánh khuấy thu tinh. Pha nước trích và giai trích được khuấy bằng cách T. Các khuấy các pha ~ 60 vòng/phút. Bộ phận phân chia pha nhỏ, không quan sát thấy hiện tượng xáo trộn bộ phận. Sau các khoảng thời gian xác định (5 ÷ 480 phút), lấy 0,1 ml mẫu pha F và pha S để phân tích nồng độ Ni²⁺, nồng độ Ni(II) trong pha màng lỏng tính theo điều kiện cân bằng vật chất.

Tu theo thành phần các mẫu, nồng độ Ni²⁺ được xác định bằng phương pháp chuẩn trực tiếp với EDTA, hoặc cho Ni²⁺ tạo phức với Dimethylglyoxim (DMG) rồi chỉ định vào cloroform và so màu bằng sóng 375 nm, hoặc bằng phương pháp quang phổ hấp thụ nguyên tử (AAS) [19].

3.K T QU VÀ TH O LU N

HDEHP dễ hòa tan trong các dung môi hữu cơ, dễ dàng tan trong các hydrocarbon mạch thẳng là dimer (HDEHP)₂. Trong n-octan nhiệt độ 20°C, hằng số dimer hoá có giá trị logK = 4,47 [20]. Do đó, trích ly Ni²⁺ có thể mô tả hình thức của hai pha như sau:



và chúng ta sẽ trình bày công thức phân tử các pha trong pha hữu cơ.

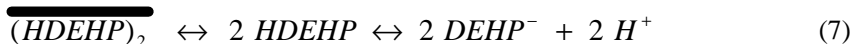
Phương trình (3) được nêu ra bởi thông báo của Kolarik [21] cho rằng các cation Cu²⁺, Co²⁺, Ni²⁺ tạo phức với HDEHP theo tỉ lệ mol 1 : 2 trong môi trường. Như vậy dimer

cao, phù hợp với hai phản ứng trình bày ở (3) và (4). Các hệ số góc thu được $\sim 1,79, 1,88$ và $2,15$ cho sai số tính không quá 10% so với giá trị lý thuyết ($= 2,0$).

Bảng 2. Ảnh hưởng của pH và nồng độ Ni^{2+} ban đầu trong pha nước 30 ml $NiCl_2$; 30 ml 10^{-1} mol/l HDEHP / n-heptan

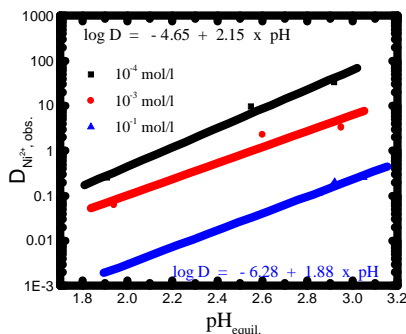
pH ₀	Pha nước		$R_{Ni^{2+}}$ (%)	$pH_{equil.}$ (thực nghiệm)	$[H^+]$, mol/l $\Delta[H^+] = [H^+]_o - [H^+]_{tinh}$	$D_{Ni^{2+}, obs.}$
	$[Ni^{2+}]_0$, mol/l					
5	10^{-4}		97,1	2,92	$+ \sim 1,0 \times 10^{-3}$	33,72
	10^{-3}		77,0	2,95	$- \sim 4,1 \times 10^{-4}$	3,35
	10^{-2}		55,2	2,98	$- \sim 1,0 \times 10^{-2}$	1,23
	10^{-1}		20,1	3,05	$- \sim 4,0 \times 10^{-2}$	0,25
4	10^{-4}		90,5	2,55	$+ \sim 2,8 \times 10^{-4}$	9,53
	10^{-3}		69,7	2,60	$- \sim 1,2 \times 10^{-3}$	2,30
	10^{-2}		50,2	2,49	$- \sim 7,0 \times 10^{-4}$	1,01
	10^{-1}		17,0	2,92	$- \sim 3,3 \times 10^{-2}$	0,20
3	10^{-4}		80,2	2,11	$+ \sim 1,0 \times 10^{-3}$	4,05
	10^{-3}		50,1	2,21	$+ \sim 2,1 \times 10^{-3}$	1,01
	10^{-2}		30,0	2,25	$- \sim 1,5 \times 10^{-3}$	0,43
	10^{-1}		10,0	2,85	$- \sim 1,9 \times 10^{-2}$	0,11
2	10^{-4}		20,1	1,91	-	0,25
	10^{-3}		6,0	1,94	-	0,06
	10^{-2}		1,0	1,97	-	0,01
	10^{-1}		0,3	2,0	-	0,003

Tuy nhiên, các sai lệch hệ số góc trên hình 2 không chỉ do sai số thực nghiệm. Theo các phản ứng (3) và (4), mỗi ion Ni^{2+} phải trao đổi 2 ion H^+ . Do đó, trên cơ sở hiệu suất trích ly Ni^{2+} , có thể tính lượng ion H^+ đã trao đổi theo phản ứng và chỉ số vận tốc thực nghiệm. Số liệu trong Bảng 2 cho thấy, ở điều kiện $pH_0 \geq 3,0$ và $[Ni^{2+}]_0 = 10^{-4}$ mol/l, giá trị $pH_{equil.}$ thực nghiệm thấp hơn giá trị tính toán tới ~ 1 đơn vị. Kết quả này có thể giải thích bởi quá trình phân bố HDEHP và hòa tan HDEHP vào pha nước [20], do HDEHP tan trong nước $\sim < 0,3 \cdot 10^{-4}$ mol/L và hằng số phân ly $pK_a = 3,95$ 20°C [7].

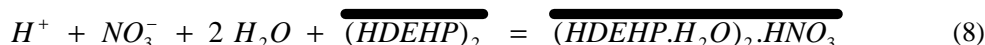


Với $[Ni^{2+}]_0$ cao hơn, ví dụ $10^{-2} \div 10^{-1}$ mol/l, các giá trị $pH_{equil.}$ thực nghiệm lại lớn hơn tính toán. Kết quả này cho thấy không chỉ quá trình (5) xảy ra hoàn toàn, mà một lượng H^+ còn bị trích ly vào pha hữu cơ. Một bộ điều kiện cân bằng tích, anion Cl^- phải

được trích ly với H^+ và tạo phức với HDEHP, đồng thời ngược lại trích ly axit HNO_3 đã mô tả trong tài liệu tham khảo [16] – phản ứng (8). Quá trình này sẽ chỉ xảy ra trong vùng pH thấp. Ngược lại, khi pH cao, quá trình (7) sẽ chỉ xảy ra.



Hình 2.: T ng quan $\log D_{Ni^{2+}, obs.} \div pH_{equil.}$ 30 ml $NiCl_2$; 30 ml 10^{-1} mol/l HDEHP



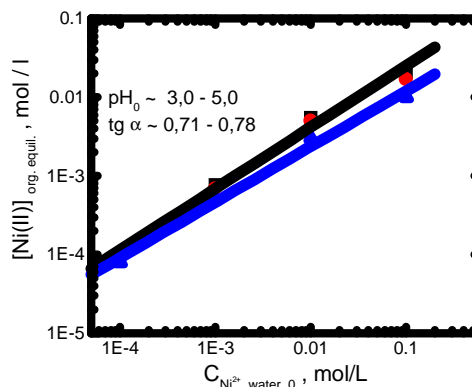
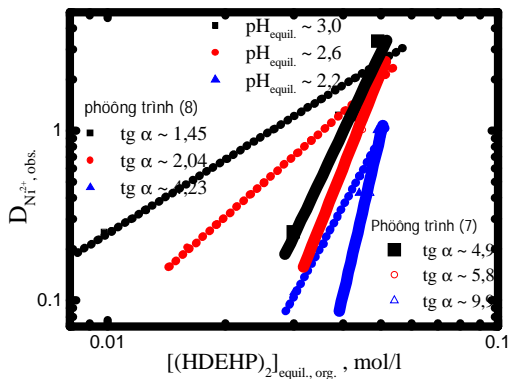
Các quá trình (7) và (8) không chỉ ảnh hưởng tới giá trị $pH_{equil.}$ của pha rắn. Nhưng xảy ra riêng rẽ, chúng đều làm giảm nồng độ dimer $\overline{(HDEHP)_2}$ tồn tại trong pha lỏng. Tuy nhiên, khi cùng xảy ra trong hệ, hai quá trình này có thể triệt tiêu lẫn nhau. Khi đó, nồng độ dimer $\overline{(HDEHP)_2}$ tồn tại sẽ tính theo cân bằng vật chất, tùy thuộc vào phần nồng độ trích ly như sau:

Theo (3)
$$\overline{[(HDEHP)_2]_{equil.}} = \overline{[(HDEHP)_2]_0} - \overline{[Ni(DEHP)_2]_{equil.}} \quad (9)$$

Theo (4)
$$\overline{[(HDEHP)_2]_{equil.}} = \overline{[(HDEHP)_2]_0} - 2 \cdot \overline{[Ni\{H(DEHP)_2\}_2]_{equil.}} \quad (10)$$

Kết quả thực nghiệm sẽ ảnh hưởng theo phương trình (9) và (10). Nồng độ ban đầu trong hệ trực tiếp là $\log D_{Ni^{2+}, obs.} \div \log \overline{[(HDEHP)_2]_{equil.}}$ và có độ nhạy tính với hệ số tăng cao – Hình 3. Khi tính nồng độ $\overline{[(HDEHP)_2]_{equil.}}$ theo phương trình (9), hệ số góc thu được vượt xa giá trị 1. Các giá trị này có thể coi là hệ quả của hai quá trình (7) và (8) làm giảm nồng độ của $\overline{[(HDEHP)_2]_{equil.}}$. Khi giá trị pH cân bằng giảm, hệ số góc tăng nhanh, thì vai trò của quá trình (8) so với (7) vùng pH thấp.

Khi tính nồng độ $\overline{[(HDEHP)_2]_{equil.}}$ theo phương trình (10), hệ số góc thu được sai lệch so với giá trị điển hình (= 2) ít hơn. Với pH cân bằng ~ 2,2, hệ số góc ~ 4,2 có thể gợi ý thích ứng tương tự như hình vẽ trên. Hệ số góc ~ 2,0 pH cân bằng ~ 2,6 có thể cho là hệ quả của cân bằng ảnh hưởng của hai quá trình (7) và (8). Tuy nhiên, hệ số góc ~ 1,45 thu được với pH cân bằng ~ 3,0 cho thấy trong pha lỏng hình thành phức $\overline{Ni(DEHP)_2}$.



Hình 3. T ng quan
 $\log D_{Ni^{2+}, obs.} \div \log [(HDEHP)_2]_{equil.}$

Hình 4. T ng quan
 $\log [Ni(II)]_{org., equil.} \div \log [Ni^{2+}]_0$

(khi $[(HDEHP)_2]_0 : [Ni^{2+}]_0$ 5)

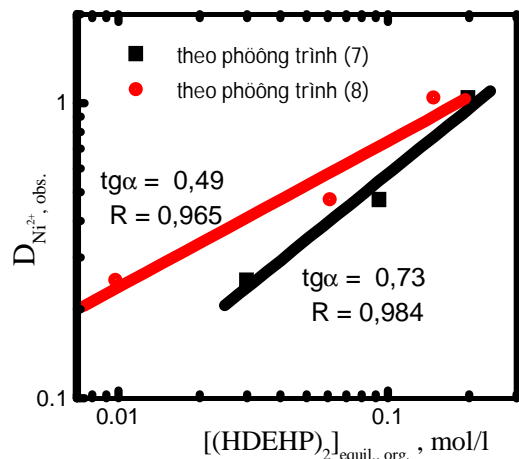
Theo k t qu ã th o lu n ph n a), cân b ng trích ly trong các h kh o sát c thi t l p r t nhanh. V i gi thi t ph n ng trích ly t cân b ng t c thi, t ng quan $\log [Ni(II)]_{org., equil.} \div \log [Ni^{2+}]_0$ cho bi t b c bi u ki n theo Ni^{2+} c a ph n ng trích ly. th Hình 4 cho th y gi thi t này t ng i g n v i th c t. Do $[(HDEHP)_2]_0 \gg [Ni^{2+}]_0$, ph n ng trích ly (3) và (4) u có th coi là b c l bi u ki n theo Ni^{2+} .

nh h ng c a n ng HDEHP ban u trong pha h u c .

Khi t ng n ng ban u c a HDEHP trong pha h u c t 0,1 mol/l n 0,5 mol/l, hi u su t trích ly Ni^{2+} t ng, phù h p v i nguyên lý d ch chuy n cân b ng ph n ng. Trong h tr c to $\log D_{Ni^{2+}, obs.} \div \log [(HDEHP)_2]_{equil.}$, h s góc 0,73 thu c khi tính n ng dimer t do theo ph ng trình (9) cho th y kh n ng Ni^{2+} trích ly vào pha h u c theo ph n ng (3) chỉ m u th h n – Hình 5

K t qu này t c v i t l các n ng ban u $[(HDEHP)_2]_0 : [Ni^{2+}]_0$ 2,5. Khi t l này t ng – nh ã nêu trên m c b) – bên c nh d ng ph c u tiên $Ni(II)DEHP_2$ còn có d ng $Ni\{H(DEHP)_2\}_2$ và các d ng ph c t ph n, các ph c c a HCl, H₂O v i HDEHP. Các lu n i m này c c ng c b i k t qu trích d n t tài li u tham kh o [22-24].

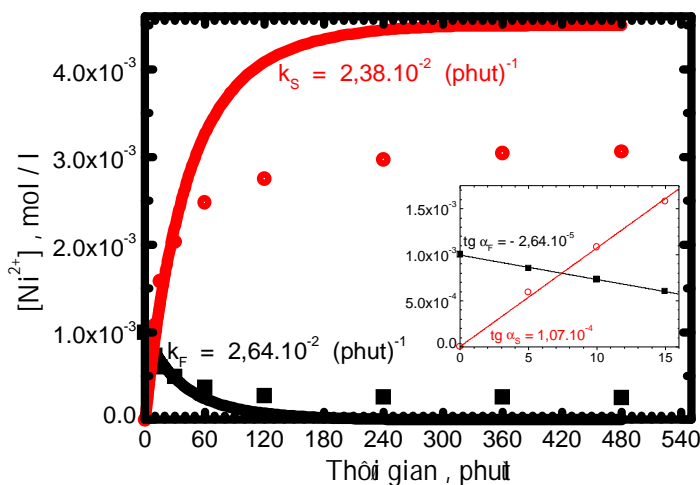
M t s tác gi cho r ng các ph c c a Ni(II) và n c trong pha h u c hình thành các aggregat, các d ng polymer và các d ng mixen o ph c t p [22-24]. Neuman [22,23] thông báo Ni^{2+} hi n di n trong pha h u c d ng ph c $Ni(II)DEHP_2 \cdot 2H_2O$, phù h p v i thông báo c a Kolarik [21] cho r ng các phân t dung môi, n c, và c các phân t HDEHP t do trong pha h u c có th chỉ m các v trí ph i trí còn l i trong ph c $Ni(II)DEHP_2$.



Hình 5. T ng quan $\log D_{Ni^{2+}, obs.} \div \log [(HDEHP)_2]_{equil., org.}$ (khi $[(HDEHP)_2]_0 : [Ni^{2+}]_0 = 2,5$)
 30 mL 10^{-1} mol/l NiCl₂, pH 4,0; 30 mL 10^{-1} mol/l HDEHP

Trích ly Ni²⁺ qua màng l ng th tích

K t qu trích ly Ni²⁺ v i n ng ban u 10^{-3} mol/l th hi n trên th Hình 6. Sau kho ng 7 phút trích ly, dòng ion Ni²⁺ t pha c p (F) sang pha nh n (S) có chi u ng c l i so v i chênh l ch n ng Ni²⁺ gi a hai pha này. N ng Ni²⁺ trong pha F t p t c gi m nhanh trong kho ng 60 phút u r i t i n d n t i giá tr n nh – tr ng thái cân b ng trong h ba pha. K t qu trích ly Ni²⁺ v i n ng ban u 10^{-2} mol/l thu c c ng t ng t .

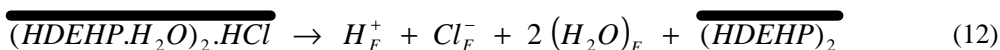
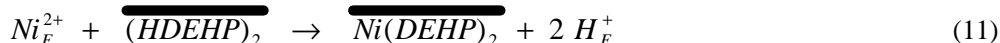


Hình 6. N ng Ni(II) trong h trích ly qua màng l ng th tích
 M - Pha màng: 80 ml 10^{-1} mol/l HDEHP / n-heptan
 S - Pha nh n: 20 ml 10^{-2} M HCl; F - Pha c p: 90 ml 10^{-3} mol/l NiCl₂, pH 5,0

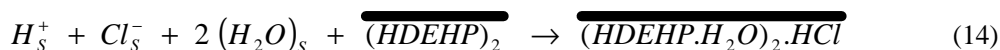
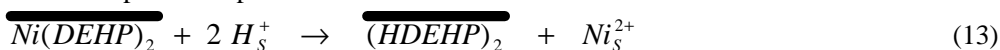
Kết quả này có thể giải thích trên cơ sở lý thuyết quá trình vận chuyển ngược dòng (counter-current transport) [11, 16, 18]. Nguyên nhân chính của quá trình vận chuyển ion Ni^{2+} trong các hệ khảo sát là chênh lệch hoạt độ của ion H^+ giữa hai pha F và S. Sau khoảng 60 phút, chênh lệch hoạt độ ion H^+ giữa hai pha F – S sẽ biến đổi dần dần, dòng Ni^{2+} ra khỏi pha F ngừng lại. Mặc dù nồng độ ion Ni^{2+} trong pha S sau 60 phút vẫn thấp hơn nhiều so với nồng độ ion Ni^{2+} trích ly Ni(II) từ pha M sang pha S.

Tính toán cân bằng vận chuyển cho thấy lượng Ni^{2+} chuyển từ pha F sang pha S trong các hệ này khác nhau, lượng ion H^+ tăng lên cũng khác nhau. Như vậy, có cân bằng hoạt độ ion H^+ trong hệ, thì có dòng H^+ bù xung từ pha S sang pha F. Dòng pH và pH ngừng tạo thành phần của HCl – nh trên bề mặt – thể tích coi là ngừng như của HNO_3 .

Như vậy, có thể viết các phản ứng trên bề mặt phân chia pha F-M:



và trên bề mặt phân chia pha M-S:



Do ion Ni^{2+} trong $\overline{(HDEHP)_2} \gg [Ni^{2+}]_F$ luôn chiếm ưu thế trên bề mặt phân chia pha F-M nên phản ứng (11) có thể coi là phản ứng thuận.

$$[Ni^{2+}]_{F,t} = [Ni^{2+}]_{F,0} \cdot e^{-k_F \cdot t} \xrightarrow{t \rightarrow 0} [Ni^{2+}]_{F,t} \approx [Ni^{2+}]_{F,0} \cdot (1 - k_F \cdot t) \quad (15)$$

Với ion Ni^{2+} các giai đoạn chuyển pha và khuếch tán phần $\overline{Ni(DEHP)_2}$ qua màng rất nhanh, lượng phần Ni^{2+} trong màng rất nhỏ, Ni^{2+} trong pha S trở thành sản phẩm cuối cùng của phản ứng (11) – phản ứng thuận. Sau khi hiểu như thế thì tích hai pha F và S trong hệ, biểu thức nồng độ Ni^{2+} trong pha S theo thời gian có dạng:

$$[Ni^{2+}]_{S,t} = \frac{V_F}{V_S} \cdot [Ni^{2+}]_{F,0} \cdot (1 - e^{-k_S \cdot t}) \xrightarrow{t \rightarrow 0} [Ni^{2+}]_{S,t} \approx \frac{V_F}{V_S} \cdot [Ni^{2+}]_{F,0} \cdot k_S \cdot t \quad (16)$$

Như vậy, khi thời gian trích ly còn nhỏ, các biểu thức $[Ni^{2+}]_{F,t}$ và $[Ni^{2+}]_{S,t}$ theo thời gian có dạng tuyến tính. Hình 6 thể hiện kết quả thực nghiệm phù hợp với phương trình (15), (16) trong 15 phút ban đầu, với chênh lệch giá trị $k_S < k_F$ khoảng 10%.

Bảng 3. Hằng số các biểu thức của các phản ứng trên bề mặt phân chia pha.

$[Ni^{2+}]_{F,0}$, mol/l	10^{-2}	10^{-3}
k_F , (phút) ⁻¹	$2,30 \cdot 10^{-2}$	$2,64 \cdot 10^{-2}$
k_S , (phút) ⁻¹	$2,01 \cdot 10^{-2}$	$2,38 \cdot 10^{-2}$

Nguyên nhân nét trong Hình 6 là kết quả tính toán theo phương trình (15), (16), sử dụng các hằng số các biểu thức k_F và k_S trong Bảng 3. Sai lệch giữa các giá trị thực nghiệm và tính toán cho pha S chủ yếu do lượng Ni(II) tồn đọng trong pha màng hoặc không thể qua

c. Một khác, thí nghiệm trên các hai giai đoạn khuếch tán và chiết tách phức $Ni(DEHP)_2$ cũng không còn phù hợp sau 15 phút chiết ly. Lúc này, pha màng hữu cơ không chỉ chứa $Ni(DEHP)_2$, $(HDEHP)_2$, mà còn có $(HDEHP.H_2O)_2.HCl$ và các dạng mixen, aggregat, polymer vì thành phần không rõ ràng [22-24]. Khi tăng pha màng tăng lên, làm giảm tốc độ khuếch tán phức Ni(II) từ môi trường phân chia pha M-S. Trên bề mặt này, cấu trúc phức tạp của các mixen, aggregat, polymer làm giảm chiết Ni²⁺ vào pha S ban đầu.

4.KẾT LUẬN

Có thể tách, thu hồi ion Ni²⁺ bằng phương pháp chiết ly sử dụng dung dịch HDEHP trong n-heptan. Trong các thí nghiệm hai pha lỏng, hiệu suất chiết ly Ni²⁺ có thể đáng kể nếu thông qua giá trị pH của pha nước. Khi tỉ lệ nồng độ $[(HDEHP)_2]_0 : [Ni^{2+}]_0 = 2,5$, dạng phức $Ni(DEHP)_2$ chiếm ưu thế chiết ly vào pha hữu cơ. Khi tỉ lệ nồng độ này tăng lên, hình thành thêm phức $Ni\{H(DEHP)_2\}_2$ và các dạng khác phức tạp hơn trong pha hữu cơ. Một khác, tùy theo thành phần pha nước mà tiến hành, quá trình chiết ly hoặc chiết tách ion H⁺ có thể diễn ra bên cạnh quá trình chiết ly Ni²⁺. Trong các thí nghiệm qua màng lỏng-thể tích, các thành phần trên bề mặt phân chia pha có thể mô tả bằng hệ số phân bố cân bằng liên quan trong khoảng 15 phút. Thành phần chiết Ni(II) vào pha nước ngược lại, có thể do sự hình thành các mixen, các aggregat của phức Ni(II) với nhau và với các thành phần khác trong pha này. Cần tìm hiểu kỹ hơn về các phức để thay đổi thành phần, nâng cao nồng độ axit trong pha nước.

RECOVERY OF Ni²⁺ BY DI-(2-ETHYLHEXYL) PHOSPHORIC ACID (HDEHP)

Tran Mai Phuong, Nguyen Huy Canh, Ngo Manh Thang
University of Technology, VNU-HCM

ABSTRACT: This paper deals with solvent and bulk liquid membrane extraction of Ni²⁺ from its chloride solutions by HDEHP in n-heptane. Effects of extraction time, initial pH and Ni²⁺ concentration in the feed as well as HDEHP concentration in the organic phase were investigated. Solvent extraction equilibrium was established within 10 minutes. Ni²⁺ showed to be extracted into the organic phase preferentially as $Ni(DEHP)_2$ complexes. The Ni²⁺ extraction yield decreased with increasing initial Ni²⁺ concentration, with decreasing pH and/or HDEHP concentration. The latter is not only due to shifting equilibrium of Ni²⁺ extraction reaction, but also due to concurrent extraction of HCl. Results of bulk liquid membrane extraction could be described by the kinetics of interfacial pseudo-first order reactions. Observed rate constants were determined $\sim 2,30.10^{-2} \div 2,68.10^{-2} \text{ min}^{-1}$ for concentration range $[Ni^{2+}]_0 \sim 10^{-3} \div 10^{-2} \text{ mol/l}$.

TÀI LI U THAM KH O

- [1]. M.J. Jung, P. Venkateswaran, Y.S. Lee, *Solvent extraction of nickel(II) ions from aqueous solutions using triethylamine as extractant*. J. Ind. Eng. Chem. 14(1), 110-115, (2008).
- [2]. Giannopoulou, D. Papias, *Copper and nickel recovery from acidic polymetallic aqueous solutions*. Minerals Engineering 20(8), 753-760, (2007).
- [3]. Y-F. Shen, W-Y. Xue, W. Li, S-D. Li, X-H. Liu, *Recovery of Mn²⁺, Co²⁺ and Ni²⁺ from manganese nodules by redox leaching and solvent extraction*. Trans. Nonferrous Met. Soc. China 17, 1105-1111, (2007).
- [4]. K.H. Park, B.R. Reddy, S.H. Jung, D. Mohapatra, *Transfer of cobalt and nickel from sulphate solutions to spent electrolyte through solvent extraction and stripping*. Sep. & Purification Technol. 51, 265-271, (2006).
- [5]. J.E. Silva, A.P. Paiva, D. Soares, A. Labrincha, F. Castro, *Solvent extraction applied to the recovery of heavy metals from galvanic sludge*. J. Hazardous Materials 120(1-3), 113-118, (2005).
- [6]. B.R. Reddy, D.N. Priya, *Process development of the separation of copper(II), nickel(II) and zinc(II) from sulphate solutions by solvent extraction using LIX 84 I*. Sep. & Purification Technol. 45, 163-167, (2005).
- [7]. L. Gotfryd, *Solvent extraction of nickel(II) sulphate contaminants*. Physicochemical Problems of Mineral Processing 39, 114-128, (2005).
- [8]. D.B. Warren, F. Grieser, J.M. Perera, G.W. Stevens, *Effect of Surfactants on the Kinetics of Nickel(II) Extraction by 2-Hydroxy-5-nonylacetophenone Oxime (LIX 84) in an n-Heptane/Water System*. Langmuir 22 (1), 213 -218, (2006).
- [9]. K. Soldenhoff, M. Shamieh, A. Manis, *Liquid-liquid extraction of cobalt with hollow fiber contactor*. J. Membr. Sci. 252, 183-194, (2005).
- [10]. N.N. Li: *US Patent 3410794*, (1968).
- [11]. P. Rajec, T.M. Ngo, *Liquid Membrane Extraction of Anions Facilitated by Aliquat 336*, Proc. Intern. Solv. Extr. Conf., ISEC'88, Vol. III, Moscow, 107-110, (1988).
- [12]. S. Bouranene, M.El-Hadi Samar, A. Abbaci, *Extraction of cobalt and lead from waste water using a liquid surfactant membrane emulsion*. Acta Chim. Slov. 50, 663-675, (2003).
- [13]. N. Bukhari, M.A. Chaudry, M. Mazhar, *Triethanolamine-cyclohexanone supported liquid membranes study for extraction and removal of nickel ions from nickel plating wastes*. J. Membr. Sci. 283, 182-189, (2006).
- [14]. R. Molinari, T. Poerio, P. Argurio, *Selective removal of Cu²⁺ versus Ni²⁺, Zn²⁺ and Mn²⁺ by using a new carrier in a supported liquid membrane*. J. Membr. Sci. 280, 470-477, (2006).
- [15]. Van de Voorde, L. Pinoy, R.F. De Ketelaere, *Recovery of nickel ions by supported liquid membrane (SLM) extraction*. J. Membr. Sci. 234, 11-21, (2004).
- [16]. R. Kopunec, T.M. Ngo, *Carrier-mediated transport of rare earth elements through supported liquid membranes. III. Transport of Sc, Y, Ce, Eu, Gd, Tm, Yb through supported liquid membrane containing DEHPA*. J. Radioanal. Nucl. Chem. Articles 170(1), 51-66, (1993).

- [17]. G. Leon, M.A. Guzman, *Kinetic study of the effect of carrier and stripping agent concentrations on the facilitated transport of cobalt through bulk liquid membranes*. Desalination 184(1-3), 79-87, (2005).
- [18]. P. Rajec, V. Mikulaj, J. Macková, *Pertraction of strontium in bulk liquid membrane systems using crown ether as a carrier*. J. Radioanal. Nucl. Chem. Articles, 150(2), 315-323, (1991).
- [19]. Nguyễn Thị Thu Vân và cộng sự, *Thí nghiệm phân tích nhúng*. NXB HQG Tp H Chí Minh, (2006).
- [20]. J. Starý, M. Kyrs, M. Marhol, *Separacní metody v radiochemii*. Akademia, Praha, (1980).
- [21]. R. Grimm, Z. Kolarik, *Acidic organophosphorus extractants – XXV Properties of complexes formed by Cu(II), Co(II), Ni(II), and Cd(II) with di(2-ethylhexyl) phosphoric acid in organic solvents*. J. Inorg. Nucl. Chem. 38(8), 1493-1500, (1976).
- [22]. R.D. Neuman, *Interfacial chemistry in solvent extraction systems*, DOE reports Nr. 13357—20 và 13357—22, US Department of Energy, (1992, 1993).
- [23]. T.H. Ibrahim, R.D. Neuman, *Molecular modeling study of the aggregation behavior of nickel(II), Co(II), lead(II) and zinc(II) bis(2-ethylhexyl) phosphate complexes*. J. Colloid & Interfacial Sci. 294, 321-327, (2006).
- [24]. Q. Li, T. Li, J. Wu, *Electrical conductivity of water/sodium bis(2-ethylhexyl) sulfosuccinate/n-heptane and water/sodium bis(2-ethylhexyl) phosphate/n-heptane systems: The influences of water content, bis(2-ethylhexyl) phosphoric acid, and temperature*. J. Colloid & Interfacial Sci. 239, 522-527, (2001).